

10; 01

НЕЛИНЕЙНАЯ ТЕОРИЯ ВЗАИМОДЕЙСТВИЯ ТРУБЧАТОГО ЭЛЕКТРОННОГО ПУЧКА С ОБДУВАЕМЫМ ПЛАЗМЕННЫМ ЦИЛИНДРОМ

Н. И. Карбушев, Г. Г. Чигладзе

Построена стационарная нелинейная теория взаимодействия тонкостенного трубчатого релятивистского электронного пучка с азимутально-симметричной поверхностной волной обдуваемого замагниченного плазменного цилиндра в металлическом волноводе. Вычислены коэффициенты связи и депрессии для нескольких вариантов конкретных геометрий и определена граница между областями сильной и слабой связи. Показано, что существенное влияние на взаимодействие пучка с плазменной волной оказывает пространственный заряд на основной частоте и ее высших гармониках.

Введение

В работах [1-4] экспериментально исследовалась генерация электромагнитных колебаний релятивистским электронным пучком. При этом реализовались такие условия, что пучок и плазма оказывались пространственно разделенными в поперечном сечении. Вместе с тем в теории, приведенной для объяснения экспериментальных результатов [1-3], не учитывались собственные колебания пучка, т. е. его высокочастотный пространственный заряд, который может существенно проявляться именно в случае несовпадающих в поперечном сечении пучка и плазмы.

В работе [5] была построена линейная теория взаимодействия тонкостенного трубчатого релятивистского электронного пучка с обдуваемым плазменным цилиндром конечной длины в волноводе. Она позволяет находить коэффициенты усиления плазменной волны и пороговые токи начала генерации с учетом собственных колебаний пучка. В той же работе был вычислен коэффициент связи пучка с плазменной волной и указан способ вычисления коэффициента депрессии, характеризующего частоту собственных колебаний пучка. Приведенная методика применима и в случае плазменно-пучковых систем другой геометрии в поперечном сечении.

В настоящей работе построена нелинейная теория взаимодействия тонкостенного трубчатого релятивистского электронного пучка с азимутально-симметричной поверхностной волной обдуваемого плазменного цилиндра в металлическом волноводе. В отличие от работ [6, 7], здесь учитываются собственные колебания пучка. При некоторых конкретных параметрах системы произведены расчеты коэффициентов связи и депрессии и найдены их зависимости от радиуса пучка. С помощью численного решения нелинейных уравнений определены зависимости амплитуды плазменной волны от продольной координаты в стационарном во времени приближении, позволяющие найти максимальные потери кинетической энергии пучка и мощность генерируемых колебаний. Продемонстрировано существенное влияние собственных колебаний пучка на взаимодействие в условиях слабой связи. Расчеты проведены в предположении сильного продольного магнитного поля, замагничивающего движение электронов пучка и плазмы. Плазма считается электронной и холодной, а пучок — моноэнергетичным.

Характер взаимодействия электронного пучка с плазменной волной определяется коэффициентами связи α^3 и депрессии d^2 . Для рассматриваемой геометрии они равны [5]

$$\alpha^3 = \frac{x_0^2 u}{2\omega k_0} \frac{\mathcal{F}_0^2(x_0 R, x_0 r_b)}{1 + x_0^2 r_p^2 (1 - \varepsilon_p) \mathcal{F}_0^2(x_0 R, x_0 r_p)},$$

$$d^2 = \lim_{k \rightarrow k_0} \left\{ \frac{\mathcal{F}_0(xR, xr_b)}{2D(\omega, k)} [\sqrt{-\varepsilon_p} J_1(xr_p \sqrt{-\varepsilon_p}) \mathcal{F}_0(xr_b, xr_p) - J_0(xr_p \sqrt{-\varepsilon_p}) \mathcal{F}_1(xr_b, xr_p)] + \frac{\omega \alpha^3}{(k - k_0) u} \right\}, \quad (1)$$

где $\mathcal{F}_0(x, y) = I_0(x) K_0(y) - I_0(y) K_0(x)$, $\mathcal{F}_1(x, y) = I_0(x) K_1(y) + I_1(y) K_0(x)$, $x^2 = k^2 - \omega^2/c^2$, $x_0^2 = k_0^2 - \omega^2/c^2$ (ω и k — частота и волновой вектор), функция $k_0(\omega)$ находится из дисперсионного соотношения для плазменной волны

$$D(\omega, k_0) = \sqrt{-\varepsilon_p} J_1(x_0 r_p \sqrt{-\varepsilon_p}) \mathcal{F}_0(x_0 R, x_0 r_p) - J_0(x_0 r_p \sqrt{-\varepsilon_p}) \mathcal{F}_1(x_0 R, x_0 r_p) = 0. \quad (2)$$

Здесь $J_{0,1}$, $I_{0,1}$, $K_{0,1}$ — функции Бесселя нулевого и первого порядка; $\varepsilon_p = 1 - \omega_p^2/\omega^2 < 0$ — диэлектрическая проницаемость плазмы, ω_p — ее электронная ленгмюровская частота; R , r_p и r_b — радиусы волновода, плазменного цилиндра и пучка; u — скорость инжекции пучка в волновод; c — скорость света. Наряду с коэффициентами связи и депрессии важным параметром является пропорциональная полному току инжекции пучка I величина $\Omega_b^2 = 4eI x_0^2 / m u \gamma^3$, где $\gamma = (1 - u^2/c^2)^{-1/2}$ — релятивистский фактор, e и m — заряд и масса электрона. Вычисление предела $k \rightarrow k_0(\omega)$ в (1) и устранение особенности приводит к более удобному для расчетов выражению для коэффициента депрессии

$$\frac{2x_0^2 u}{\omega k_0 \alpha^3} d^2 = \frac{2}{\mathcal{F}_0(x_0 R, x_0 r_b)} [x_0^2 r_p^2 (1 - \varepsilon_p) \mathcal{F}_0(x_0 r_b, x_0 r_p) \mathcal{F}_0(x_0 R, x_0 r_p) + 2x_0 r_b \mathcal{F}_1(x_0 R, x_0 r_b) - x_0 R \mathcal{F}_1(x_0 r_b, x_0 R)] - [1 + x_0^2 r_p^2 (1 - \varepsilon_p) \mathcal{F}_0^2(x_0 R, x_0 r_p)]^{-1} \times \{6 + x_0^2 r_p^2 (1 - \varepsilon_p) \mathcal{F}_0(x_0 R, x_0 r_p) [4\mathcal{F}_0(x_0 R, x_0 r_p) + 2x_0 r_p \mathcal{F}_1(x_0 R, x_0 r_p) - 2x_0 R \mathcal{F}_1(x_0 r_p, x_0 R)]\}. \quad (3)$$

Амплитуда продольной составляющей электрического поля волны плазменного цилиндра $E_z(r)$, определяющей взаимодействие пучка с плазмой, является монотонно спадающей функцией радиуса при $r > r_p$. По этой причине коэффициент связи α^3 , пропорциональный квадрату амплитуды поля на радиусе пучка $E_z^2(r_b)$, монотонно уменьшается с ростом r_b , обращаясь в нуль на стенке волновода $r_b = R$. Зависимость же коэффициента депрессии от радиуса пучка оказывается более сложной.

В качестве примера на рис. 1, а–в приведены графики $d^2(r_b/r_p)$ для различных значений отношений радиусов R/r_p и величин $x_0 r_p$, соответствующих низшей азимутально-симметричной моде плазменных волн с минимальным значением $|\varepsilon_p|$.¹ Коэффициент депрессии обращается в нуль на стенке волновода $r_b = R$, что соответствует экранировке полей пучка близко расположенной к нему металлической поверхностью. При удалении пучка от стенки волновода коэффициент депрессии растет, принимая положительные значения. Вместе с тем зависимость $d^2(r_b/r_p)$ не всегда монотонна. С приближением пучка к поверхности плазменного цилиндра усиливается влияние плазмы на собственные колебания пучка, это влияние оказывается наиболее сильным при выполнении неравенства $x_0 r_b \leq 1$. По этой причине график функции $d^2(r_b/r_p)$ в ряде случаев имеет максимум и даже коэффициент депрессии может принимать отрицательные значения. Последнее обусловлено отрицательной поляризуемостью плазмы

¹ Величина $|\varepsilon_p|$ при заданных R/r_p и $x_0 r_p$ вычислялась из дисперсионного соотношения (2).

с $\epsilon_p < 0$ и указывает на принципиальную возможность развития неустойчивости отрицательной массы в плазменно-пучковой системе.

Отметим, что коэффициент депрессии (3) существенно отличается от использованного в расчетах в работе [8] коэффициента депрессии

$$d'^2 = \frac{I_0(x_0 r_b)}{2I_0(x_0 R)} \mathcal{F}_0(x_0 R, x_0 r_b), \quad (4)$$

справедливого для тонкостенного трубчатого пучка в волноводе в отсутствие плазмы. Наиболее сильное отличие величин d^2 и d'^2 проявляется в условиях

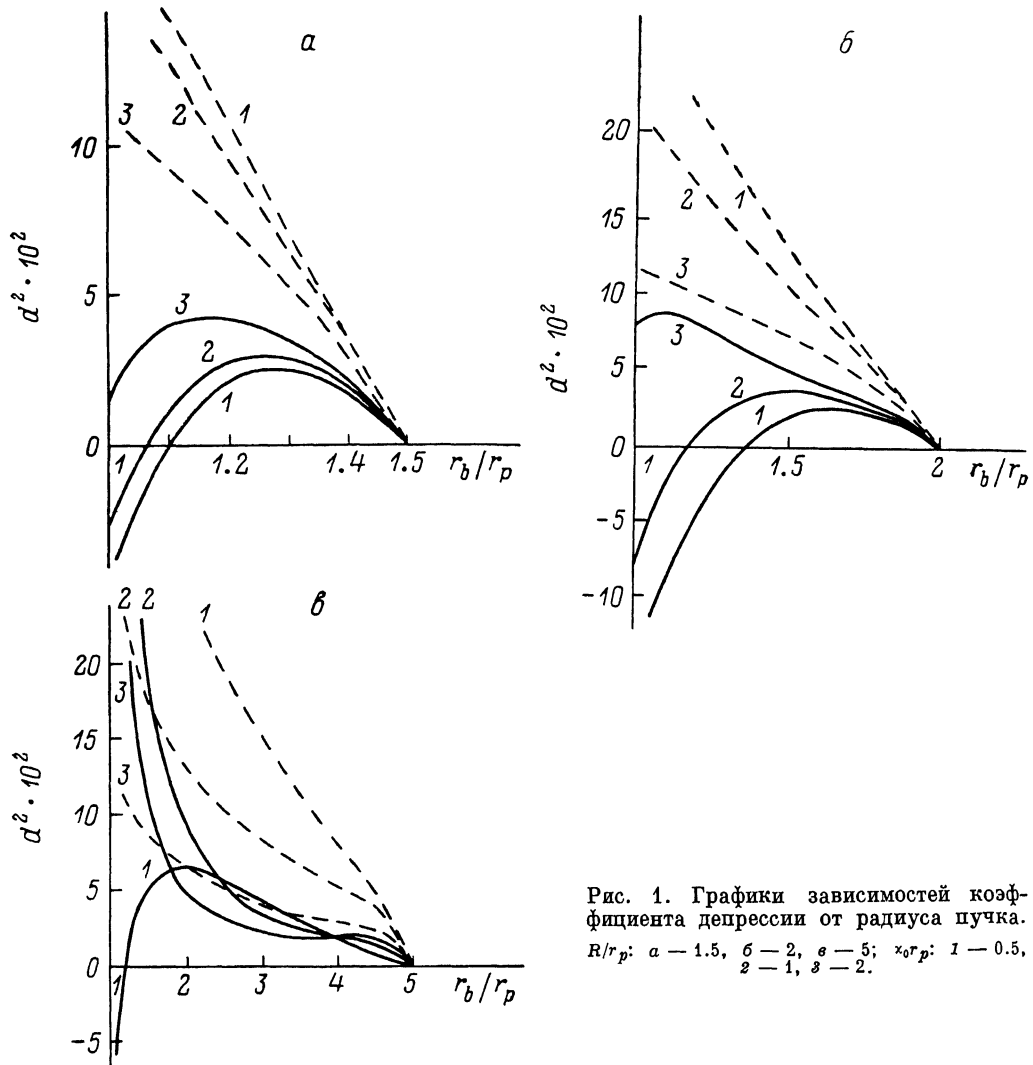


Рис. 1. Графики зависимостей коэффициента депрессии от радиуса пучка. R/r_p : а — 1.5, б — 2, в — 5; $x_0 r_p$: 1 — 0.5, 2 — 1, 3 — 2.

$x_0 R \ll 1$ практически при любых радиусах пучка. Результаты сравнения представлены на рис. 1, а—в, где графики $d'^2(r_b/r_p)$ изображены штриховыми линиями.

Как было показано в работе [6], влияние собственных колебаний пучка на его взаимодействие с плазмой наиболее существенно тогда, когда выполняются условия слабой связи или большого пространственного заряда

$$\sigma^2 = \left(\frac{\Omega_b}{\omega}\right)^2 \frac{|d|^2}{\alpha^2} \geq 1. \quad (5)$$

Отсюда при $\sigma^2 = 1$ получаем граничное значение величины $(\Omega_b^2/\omega^2)_{rp} = \alpha^2/|d|^2$ пропорциональной полному току инжекции пучка, превышение которого при-

водит к проявлению его собственных колебаний. На рис. 2, *a—в* приведены графики функций $\delta \ln(\alpha/|d|)$ в зависимости от отношения r_b/r_p при тех же параметрах, что и на рис. 1. Из них следует, что собственные колебания пучка начинают влиять на взаимодействие с плазменной волной при меньших токах, если пучок удаляется от поверхности плазменного цилиндра и приближается

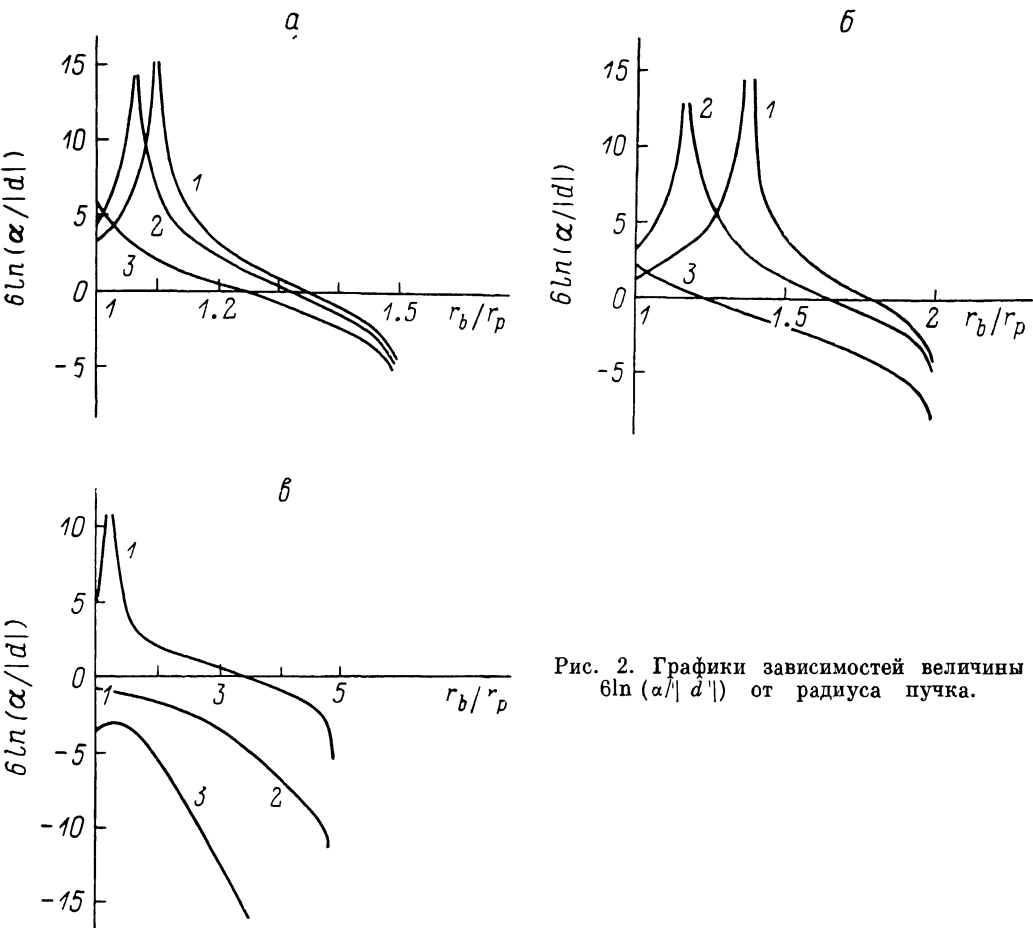


Рис. 2. Графики зависимостей величины $\delta \ln(\alpha/|d|)$ от радиуса пучка.

к стенке волновода. Для значений радиуса пучка, соответствующих обращению в нуль коэффициента депрессии, величина $(\Omega_b^2/\omega^2)_{rp}$ стремится к бесконечности. Из рис. 2 следует, что развитие неустойчивости отрицательной массы в рассматриваемой системе практически невозможно, поскольку в области $d^2 < 0$ имеем $\delta \ln(\alpha/|d|) > 0$ и $(\Omega_b^2/\omega^2)_{rp} > 1$. Укажем также, что использование коэффициента депрессии (4) вместо (3) может привести к ошибке (обычно занижению) в определении граничного тока пучка на порядок и более.

Нелинейные уравнения пучково-плазменного взаимодействия

При исследовании взаимодействия электронного пучка с плазмой движение электронов последней можно предполагать линейным. Нелинейное же движение электронов пучка определяется продольной составляющей полного электрического поля на радиусе пучка

$$E_z(r_b) = \text{Re} \left[E_0(z) e^{-i\theta} + \sum_{n=1}^{\infty} E_n(z) e^{in\theta} \right], \quad (6)$$

где фаза $\theta = \omega t - k_0 z$, $E_0(z)$ — медленно меняющаяся в продольном направлении амплитуда поля плазменной волны, $E_n(z)$ — амплитуда гармоник поля про-

пространственного заряда пучка на частотах $n\omega$. Согласно общей теории взаимодействия электронных пучков с электромагнитными волнами, в волноводах [9] для амплитуды поля плазменной волны справедливо уравнение

$$\frac{dE_0}{dz} = -4x_0^2 \frac{\alpha^3}{u} I_1, \quad (7)$$

в котором I_1 — амплитуда гармоники тока пучка на частоте ω .

Амплитуды же гармоник поля пространственного заряда выражаются через амплитуды гармоник тока пучка I_n с помощью алгебраических соотношений

$$E_n = -4i \frac{\chi_0^2}{\omega} n d_n^2 I_n. \quad (8)$$

Коэффициент депрессии d_1^2 на частоте ω совпадает с выражением (3), а коэффициенты депрессии d_n^2 на частотах $n\omega$ ($n \geq 2$) определяются формулой

$$d_n^2 = \frac{\mathcal{F}_0(n\alpha_0 R, n\alpha_0 r_b)}{2D(n\omega, nk_0)} \left[\sqrt{-\varepsilon_p(n\omega)} J_1(n\alpha_0 r_p \sqrt{-\varepsilon_p(n\omega)}) \mathcal{F}_0(n\alpha_0 r_b, n\alpha_0 r_p) - \right. \\ \left. - J_0(n\alpha_0 r_p \sqrt{-\varepsilon_p(n\omega)}) \mathcal{F}_1(n\alpha_0 r_b, n\alpha_0 r_p) \right], \quad (9)$$

где функции D , $\mathcal{F}_{0,1}$ аналогичны (1), (2). Поскольку $D(n\omega, nk_0) \neq 0$, формула (9) не содержит особенностей.

Амплитуды гармоник тока пучка I_n находятся как коэффициенты разложения переменного полного тока в ряд по частотам $n\omega$

$$I(z, t) = I_0 + \operatorname{Re} \sum_{n=1}^{\infty} I_n e^{-in\theta}. \quad (10)$$

С учетом условия сохранения переносимого электронами пучка заряда можно записать, что

$$I_n = \frac{1}{\pi} \int_0^{2\pi} I(z, t) e^{in\theta} d\theta = \frac{I}{\pi} \int_0^{2\pi} e^{in\theta} d\theta_0, \quad (11)$$

где I — ток инжекции пучка, θ_0 — фаза его электронов относительно плазменной волны в момент их влета в волновод в сечении $z=0$.

Уравнение движения электронов пучка записывается в виде

$$\frac{dv}{dz} = \frac{e}{mv} \left(1 - \frac{v^2}{c^2}\right)^{3/2} E_z(r_b), \quad (12)$$

а изменение их фазы относительно плазменной волны вдоль продольной координаты происходит в соответствии с уравнением

$$\frac{d\theta}{dz} = \frac{\omega}{v} - k_0, \quad (13)$$

где v — скорость электронов пучка.

Таким образом, процесс взаимодействия тонкостенного трубчатого пучка с плазменной волной полностью описывается нелинейными уравнениями (7), (12), (13) с учетом (6), (8), (11). В безразмерных переменных

$$\zeta = \frac{\omega}{u} z, \quad v = 1 - \frac{v}{u}, \quad \mathcal{E} = -\frac{eE_0}{m\omega u \gamma^3}, \quad i_0 = \alpha^3 \frac{\Omega_p^2}{\omega^2}, \quad \delta = \frac{k_0 u}{\omega} - 1 \quad (14)$$

в приближении малого относительного изменения скорости $|v| \ll 1$ их можно переписать в виде

$$\frac{d\theta}{d\zeta} = v - \delta, \quad \frac{d\mathcal{E}}{d\zeta} = \frac{i_0}{\pi} \int_0^{2\pi} e^{i\theta} d\theta_0,$$

$$\frac{d\nu}{d\zeta} = [1 + 2(\gamma^2 - 1)\nu]^{1/2} \left[\operatorname{Re}(\mathcal{E}e^{-i\theta}) - \frac{i_0}{\pi\alpha^3} \sum_{n=1}^{\infty} n d_n^2 \operatorname{Im} \left(e^{-in\theta} \int_0^{2\pi} e^{in\theta} d\theta_0 \right) \right]. \quad (15)$$

Граничные условия в сечении $\zeta=0$ при этом в случае моноэнергетичного инжектируемого электронного пучка без предварительной модуляции выглядят следующим образом:

$$\theta = \theta_0 \in [0, 2\pi), \quad \nu = 0, \quad \mathcal{E} = \mathcal{E}_0, \quad (16)$$

где распределение частиц по фазам θ_0 равномерно во всем интервале, а величина \mathcal{E}_0 определяется амплитудой поля плазменной волны $E_0(0)$ в сечении $z=0$. Система уравнений (15) имеет интеграл энергии

$$\frac{|\mathcal{E}|^2}{4} + \frac{i_0}{2\pi(\gamma_0^2 - 1)} \int_0^{2\pi} [1 + 2(\gamma^2 - 1)\nu]^{-1/2} d\theta_0 = \text{const}, \quad (17)$$

сохраняющийся вдоль всей длины области взаимодействия.

Наиболее простой вид уравнения (15) приобретают в случае выполнения неравенства $2(\gamma^2 - 1)|\nu| \ll 1$, когда движение электронов пучка в системе координат, движущейся с фазовой скоростью плазменной волны, остается нерелятивистским и величина i_0 исключается из числа свободных параметров. При малом параметре $\sigma^2 \ll 1$ удобно перейти к новым безразмерным переменным

$$\bar{\zeta} = i_0^{1/3} \zeta, \quad \bar{\nu} = i^{-1/3} \nu, \quad \bar{\mathcal{E}} = i_0^{-1/3} \mathcal{E}, \quad \bar{\delta} = i_0^{-1/3} \delta, \quad (18)$$

в которых уравнения (15) записываются следующим образом:²

$$\begin{aligned} \frac{d\theta}{d\bar{\zeta}} &= \bar{\nu} - \bar{\delta}, & \frac{d\bar{\mathcal{E}}}{d\bar{\zeta}} &= \frac{1}{\pi} \int_0^{2\pi} e^{i\theta} d\theta, \\ \frac{d\bar{\nu}}{d\bar{\zeta}} &= \operatorname{Re}(\bar{\mathcal{E}}e^{-i\theta}) - \frac{\sigma^2}{\pi} \sum_{n=1}^{\infty} n \frac{d_n^2}{|d|^2} \operatorname{Im} \left(e^{-in\theta} \int_0^{2\pi} e^{in\theta} d\theta_0 \right). \end{aligned} \quad (19)$$

При большом параметре $\sigma^2 \gg 1$ оказывается удобнее перейти к другим новым безразмерным переменным

$$\bar{\zeta} = \frac{i_0^{1/2} |d|}{a^{3/2}} \zeta, \quad \bar{\nu} = \frac{\alpha^{3/2} \nu}{i_0^{1/2} |d|}, \quad \bar{\varepsilon} = \frac{\alpha^{3/2} \varepsilon}{i_0^{3/4} |d|^{1/2}}, \quad \bar{\delta} = \frac{\alpha^{3/2} \delta}{i_0^{1/2} |d|}, \quad (20)$$

Когда система уравнений (15) переписывается в таком виде:

$$\begin{aligned} \frac{d\theta}{d\bar{\zeta}} &= \bar{\nu} - \bar{\delta}, & \frac{d\bar{\varepsilon}}{d\bar{\zeta}} &= \frac{\sigma^{-3/2}}{\pi} \int_0^{2\pi} e^{i\theta} d\theta_0, \\ \frac{d\bar{\nu}}{d\bar{\zeta}} &= \sigma^{-3/2} \operatorname{Re}(\bar{\varepsilon}e^{-i\theta}) - \frac{1}{\pi} \sum_{n=1}^{\infty} n \frac{d_n^2}{|d|^2} \operatorname{Im} \left(e^{-in\theta} \int_0^{2\pi} e^{in\theta} d\theta_0 \right). \end{aligned} \quad (21)$$

Системы уравнений (19), (21) имеют интегралы энергии

$$\frac{|\bar{\mathcal{E}}|^2}{4} - \frac{1}{2\pi} \int_0^{2\pi} \bar{\nu} d\theta_0 = \text{const}, \quad (22)$$

которые можно получить также из (17) в пределе $2(\gamma^2 - 1)|\nu| \ll 1$. Запишем также выражение для отношения приращения потока электромагнитной энер-

² В случае отрицательного знака коэффициента депрессии $d^2 < 0$ знак перед суммой в последних уравнениях (19), (21) должен быть противоположным.

гии плазменной волны к потоку кинетической энергии инжектируемого в сечении $z=0$ электронного пучка. Имеем

$$\eta = \frac{eu [|E_0(z)|^2 - |E_0(0)|^2]}{16mc^2 I (\gamma - 1) \kappa_0^2 a^3} = \frac{\gamma (\gamma + 1)}{4} \frac{|\mathcal{E}|^2 - |\mathcal{E}_0|^2}{i_0} = \frac{\gamma (\gamma + 1)}{4} i_0^{1/3} (|\mathcal{E}|^2 - |\mathcal{E}_0|^2) = \frac{\gamma (\gamma + 1)}{4} \frac{\Omega_b}{\omega} |d| (|\mathcal{E}|^3 - |\mathcal{E}_0|^3). \quad (23)$$

В силу интегралов энергии (17) и (22) величина η представляет собой усредненную по периоду относительную потерю кинетической энергии электронного пучка.

Результаты численных расчетов нелинейных уравнений

Для строгого решения системы нелинейных уравнений (15), кроме коэффициентов связи и депрессии, на частоте ω необходимо также знать коэффициенты депрессии на высших гармониках частоты $n\omega$ (9). При этом величина диэлектри-

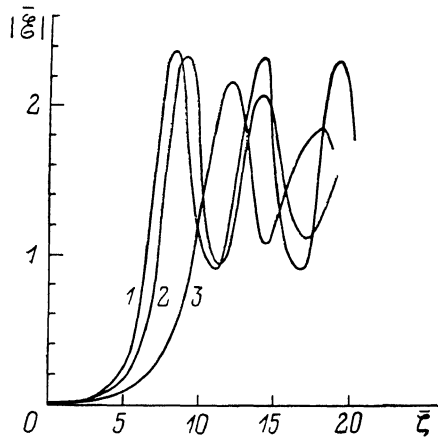


Рис. 3. Зависимости амплитуды поля плазменной волны от координаты.

$\mathcal{E}_0 = 10^{-2}$; σ^2 : 1 — 0, 2 — 0.3, 3 — 1.

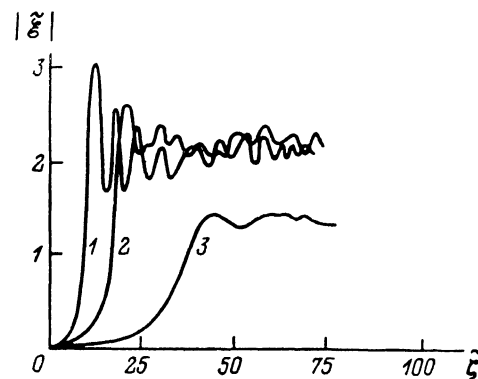


Рис. 4. Зависимости амплитуды поля плазменной волны от координаты.

$\mathcal{E}_0 = 10^{-2}$, $d_n^2/d^2 = 1$; $\sigma^{-3/2}$: 1 — 1, 2 — 0.5, 3 — 0.2.

ческой проницаемости плазмы $\epsilon_p(n\omega)$, входящая в выражение (9), может быть вычислена с помощью формулы

$$\epsilon_p(n\omega) = 1 - \frac{\omega_p^2}{n^2 \omega^2} = 1 + \frac{1}{n^2} [\epsilon_p(\omega) - 1], \quad (24)$$

где $\epsilon_p(\omega)$ определяется из дисперсионного соотношения (2). Расчеты, проведенные для тех же параметров, что и на рис. 1, 2, показали, что в области $d^2 > 0$ (где только и может быть важным учет пространственного заряда пучка и его гармоник) всегда отношение $d_n^2/d^2 > 1$, $n \geq 2$, причем значения d_n^2 весьма близки друг к другу. Разность $(d_n^2/d^2) - 1$ может составлять от нескольких долей единицы до нескольких единиц и возрастает с увеличением параметров $\kappa_0 r_p$ и R/r_b . В дальнейшем при расчетах полагаем $d^2 > 0$.

В линейном приближении по амплитудам возмущений из систем уравнений (15), а также (19) и (21) получаем результаты работы [6]. Из них следует, что максимальное линейное усиление в условиях, противоположных (5), достигается при величине расстройки $\delta = 0$, а в случае слабой связи (5) — при $\delta = 1$ ($\delta = \Omega_b / \omega d$). Вследствие этого, решая уравнения (19), будем далее полагать $\delta = 0$, а в первом из уравнений (21) считать, что $\delta = 1$.

На рис. 3 приведены результаты расчета системы уравнений (19) для значения $\mathcal{E}_0 = 10^{-2}$. При $\sigma^2 = 0$ кривая $|\mathcal{E}(\xi)|$ с точностью до нормирующих коэффициентов $4^{1/3}$ по вертикальной оси и $2^{-1/3}$ по горизонтальной оси совпадает

с аналогичной кривой работы [10]. В условиях $\sigma^2 \leq 1$ учет высших гармоник пространственного заряда с номерами $n \geq 2$ оказывается практически несущественным, а поле пространственного заряда на частоте ω с ростом параметра σ^2 приводит к уменьшению размаха осцилляций амплитуды $|\mathcal{E}(\xi)|$. С увеличением параметра σ^2 происходит также уменьшение максимально достижимой амплитуды $|\mathcal{E}|_{\max}$. Последнее обусловлено смещением области усиления плазменной волны электронным пучком в сторону положительных значений расстройки $\delta > 0$.³

Гораздо более существенно взаимодействие электронного пучка с плазменной волной определяется параметром σ^2 в области $\sigma^2 \geq 1$. Это показано на рис. 4, где представлены графики зависимости $|\mathcal{E}(\xi)|$, полученные из решения системы уравнений (21) при $\mathcal{E}_0 = 10^{-2}$ и $d_n^2/d^2 = 1$. Видно, что с ростом параметра σ^2 происходит дальнейшее уменьшение размаха осцилляций амплитуды поля плазменной волны, а также уменьшение максимально достижимой величины $|\mathcal{E}|_{\max}$. Изучение фазовых картин для частиц пучка показывает, что с ростом параметра σ^2 ухудшается их группирование. Таким образом, сильное поле пространственного заряда препятствует группировке пучка. Вместе с тем отметим, что максимальная амплитуда поля плазменной волны $|\mathcal{E}|_{\max}$ при $\sigma^2 = 1$ (рис. 4, кривая 1) превышает максимальную амплитуду $|\mathcal{E}|_{\max}$ при $\sigma^2 = 0$ (рис. 3, кривая 1). В соответствии с этим небольшой пространственный заряд может привести к некоторому увеличению максимальной амплитуды поля плазменной волны, что согласуется с аналогичными результатами в СВЧ электронике.

При $\sigma^2 \geq 1$ характер усиления и максимальная амплитуда поля плазменной волны сильно зависят от величин коэффициентов депрессии d_n^2 , т. е. от вклада высших гармоник пространственного заряда. Как видно из рис. 5, максимальная амплитуда $|\mathcal{E}|_{\max}$ резко уменьшается с ростом отношения d_n^2/d^2 . При этом также ухудшается группирование частиц пучка. Аналогичные расчеты, проведенные для случая $\sigma^{-3/2} = 0.2$, показывают еще более сильную зависимость амплитуды $|\mathcal{E}|_{\max}$ от отношения d_n^2/d^2 .

Заключение

Построенная в настоящей работе нелинейная теория позволяет производить расчет усиления поверхностной волны плазменной цилиндра обдуваемым трубчатых электронным пучком. Для конкретной геометрии необходимо только найти величины коэффициентов связи и депрессии. Аналогичная теория применима также и к плазменно-пучковым генераторам, работа которых стационарна во времени. При этом амплитуды плазменной волны на входе и выходе связаны друг с другом коэффициентами отражения. Параметры генератора оптимальны, если на его выходе достигается максимум амплитуды плазменной волны. В таком случае наибольшая доля кинетической энергии электронов пучка преобразовывается в энергию плазменной волны. При не очень большом превышении порогового тока пучка генерация происходит на частоте, соответствующей максимальному усилению плазменной волны в линейном приближении. В случае достаточно большой длины генератора на этой частоте достигается максимум пространственного инкремента $(\text{Im } k)_{\max}$.

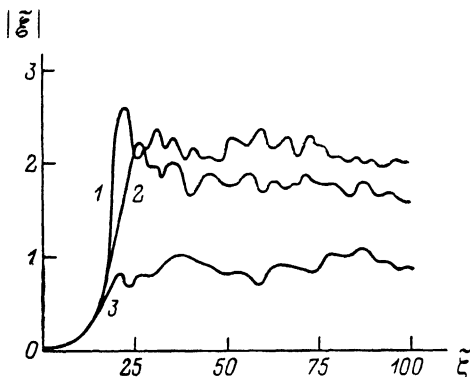


Рис. 5. Зависимости амплитуды поля плазменной волны от координаты.

$\mathcal{E}_0 = 10^{-2}$, $\sigma^{-3/2} = 0.5$; d_n^2/d^2 : 1 — 1, 2 — 3, 3 — 5.

³ Для $\sigma^2 > 3/4^{1/2} \approx 1.89$ экспоненциальное усиление плазменной волны при $\delta = 0$ отсутствует.

Использованное при выводе нелинейных уравнений (19), (21) условие малости величины $2(\gamma^2 - 1)|v| \ll 1$ эквивалентно в линейном приближении выполнению неравенств

$$2\gamma^2\alpha \left(\frac{\Omega_b}{\omega}\right)^{2/3} \ll 1, \quad 2\gamma^2 \frac{\Omega_b}{\omega} |d| \ll 1. \quad (25)$$

Оба эти условия близки друг к другу, и в пределе $x_0 R \ll 1$ приводят к требованию

$$\frac{16eI}{m\gamma u^3} \ln \frac{R}{r_b} \ll 1, \quad (26)$$

которое может быть нарушено только для сильнооточных пучков.

Отметим, что предельный переход $k \rightarrow k_0$ в выражении (1) для коэффициента депрессии допустим также лишь в условиях (25). При их нарушении изложенная в настоящей работе теория справедлива только в приближении малого пространственного заряда. В приближении же большого пространственного заряда результаты теории носят лишь качественный характер.

Литература

- [1] Кузелев М. В., Мухаметьянов Ф. Х., Рабинович М. С. и др. // ЖЭТФ. 1982. Т. 83. Вып. 4. С. 1358—1365.
- [2] Кузелев М. В., Мухаметьянов Ф. Х., Рабинович М. С. и др. // ДАН СССР. 1982. Т. 267. № 4. С. 829—832.
- [3] Кузелев М. В., Мухаметьянов Ф. Х., Рабинович М. С. и др. // Релятивистская высокочастотная электроника. Горький, 1983. Вып. 3. С. 160—183.
- [4] Стрелков П. С., Шкварунец А. Г. // Тез. докл. IV Всесоюз. семинара по релятивистской высокочастотной электронике «Мощные генераторы и усилители на релятивистских электронных потоках». М., 1984. С. 76.
- [5] Карбушев Е. И. // ЖТФ. 1986. Т. 56. Вып. 8. С. 1631—1634.
- [6] Кондратенко А. Н., Куклин В. М., Пенева И. Х. // Изв. вузов. Радиофизика. 1977. Т. 20. № 1. С. 56—66.
- [7] Альтеркоп Б. А., Росинский С. Е., Тараканов В. П. // Физика плазмы. 1979. Т. 5. № 2. С. 291—296.
- [8] Кузелев М. В., Панин В. А. // Изв. вузов. Физика. 1985. № 3. С. 32—34.
- [9] Вайнштейн Л. А., Солнцев В. А. Лекции по сверхвысокочастотной электронике. М.: Сов. радио, 1973. 400 с.
- [10] Онищенко И. Н., Линецкий А. Р., Мацуборко Н. Г. и др. // Письма в ЖЭТФ. 1970. Т. 12. Вып. 8. С. 407—411.

Тбилисский
государственный университет
Физический факультет

Поступило в Редакцию
4 января 1988 г.